

Investigating the antibacterial effects of extract and protein fractions isolated from *Adenium obesum* plant in laboratory conditions

Ashkan Hajinourmohammadi¹, Jamil Zargan^{2*}, Hanieh Jafary¹, Firouz Ebrahimi³

1. Department of Biology, Science and Research Branch, Islamic Azad University, Tehran, Iran

2. Department of Biology, Faculty of Basic Science, Imam Hossein University, Tehran, Iran

3. Milad Darou Noor Pharmaceutical (MDNP) Company, Tehran, Iran

Abstract

Aim and Background: Infectious diseases caused by bacterial agents are one of the most common causes of death worldwide. Many of these agents are resistant to one or more antibiotics, some are multidrug resistant, and others are resistant to almost all commonly used antibiotics. Antimicrobial, anticancer, and antioxidant compounds have been reported from the extracts of different buffers derived from different plant species. In this study, the antibacterial activity of the buffered extract and protein fractions of the buffered extract of *Adenium obesum* were investigated.

Material and Methods: In this research, firstly, the electrophoretic-chromatographic pattern of the buffered plant leaf extract and then the antibacterial properties of the buffered extract in denatured and non-denatured forms of proteins as well as its protein fractions in the required concentrations in terms of micrograms per milliliter in Laboratory conditions (*in-vitro*) were tested using the minimum inhibitory concentration (MIC) assay for Gram-positive *Staphylococcus aureus* and Gram-negative *Escherichia coli* and ANOVA statistical analysis.

Results: Different protein bands were observed in the SDS-PAGE spectrum of crude buffer extract. In the chromatographic study, 12 main peaks were separated and collected, of which 9 fractions contained protein. The results of this study showed that crude buffer extract with undenatured proteins from 0.02 µg/ml and crude buffer extract with denatured proteins from 0.04 µg/ml had a significant inhibitory effect on *Staphylococcus aureus* and *Escherichia coli*. The results of this study on the protein fractions of crude buffer extract also showed different effects on the tested bacteria, including the highest inhibition rate of Gram-positive bacteria related to fraction 8 with an average inhibition of 25% at a protein concentration of 0.01 µg/mL and similarly, it was shown in gram-negative bacteria related to fraction 3 with 0.16 µg/mL gelate and fraction 10 with 0.01 µg/mL gelate with an average inhibition of 11 percent.

Conclusion: The results of this study showed for the first time that denatured and non-denatured buffer extract and its protein fractions 3, 8, and 10 have antibacterial properties.

Keywords: *Adenium obesum*, buffer extract, protein fractions, antibacterial effects.

بررسی اثرات ضد باکتریایی عصاره بافری و فراکسیون‌های پروتئینی جدا شده از گیاه *Adenium obesum* در شرایط آزمایشگاهی

اشکان حاجی نورمحمدی^۱، جمیل زرگان^{۲*}، هانیه جعفری^۱، فیروز ابراهیمی^۳

۱. گروه زیست‌شناسی، واحد علوم و تحقیقات، دانشگاه آزاد اسلامی، تهران، ایران

۲. مرکز علم و فناوری زیست‌شناسی، دانشکده علوم پایه، دانشگاه امام حسین علیه السلام، تهران ایران

۳. شرکت دارویی میلاد دارو، واحد ۳، تهران، ایران

چکیده

سابقه و هدف: بیماری‌های عفونی ناشی از عوامل باکتریایی یکی از شایع‌ترین علل مرگ و میر در سراسر جهان است. بسیاری از این عوامل به یک یا چند آنتی‌بیوتیک مقاوم هستند، برخی از آن‌ها به چند دارو مقاوم هستند و برخی دیگر تقریباً به همه آنتی‌بیوتیک‌های رایج مقاوم هستند. ترکیبات ضد میکروبی، ضد سرطانی و آنتی‌اکسیدانی از عصاره‌های مختلف مشتق شده از انواع گونه‌های گیاهی گزارش شده است. در این مطالعه، فعالیت ضد باکتریایی عصاره بافری گیاه *آدنیم آبسوم* (*Adenium obesum*) و فراکسیون‌های پروتئینی جدا شده از عصاره آن مورد بررسی قرار گرفت.

مواد و روش‌ها: در این تحقیق ابتدا الگوی الکتروفوریتیک-کروماتوگرافی عصاره بافری برگ گیاه و سپس خواص ضد باکتریایی عصاره بافری در اشکال دنا توره و غیردنا توره شده پروتئین‌ها و همچنین فراکسیون‌های پروتئینی آن در غلظت‌های مورد نیاز بر حسب میکروگرم در میلی‌لیتر در شرایط آزمایشگاهی (*in-vitro*) با استفاده از سنجش حداقل غلظت بازدارنده (MIC) برای *استافیلوکوکوس اورئوس* گرم مثبت و *اشریشیا کلی* گرم منفی مورد آزمایش و آنالیز آماری آن‌ها قرار گرفت.

یافته‌ها: باندهای پروتئینی مختلفی در طیف SDS-PAGE عصاره بافری خام مشاهده شد. در مطالعه کروماتوگرافی، ۱۲ پیک اصلی جدا و جمع‌آوری شد که ۹ فراکسیون حاوی پروتئین بود. نتایج این مطالعه نشان داد که عصاره بافری خام با پروتئین‌های دنا توره نشده از ۰/۰۲ میکروگرم در میلی‌لیتر و عصاره بافری خام با پروتئین‌های دنا توره شده از ۰/۰۴ میکروگرم در میلی‌لیتر اثر مهاری معنی‌داری بر روی باکتری‌های *استافیلوکوکوس اورئوس* و *اشریشیا کلی* داشتند. نتایج این مطالعه بر روی فراکسیون‌های پروتئینی عصاره بافری خام نیز اثرات متفاوتی را بر روی باکتری‌های مورد آزمایش نشان داد، از جمله بالاترین میزان مهار باکتری گرم مثبت مربوط به فراکسیون ۸ با میانگین مهار ۲۵ درصد در غلظت پروتئینی ۰/۰۱ $\mu\text{g/mL}$ و همین‌طور در باکتری گرم منفی مربوط به فراکسیون ۳ با غلظت ۰/۱۶ $\mu\text{g/mL}$ و فراکسیون ۱۰ با غلظت ۰/۰۱ $\mu\text{g/mL}$ با میانگین مهار ۱۱ درصد است.

نتیجه‌گیری: نتایج این مطالعه برای اولین بار نشان داد که عصاره بافری دنا توره و غیردنا توره و فراکسیون‌های پروتئینی ۳، ۸ و ۱۰ دارای خواص ضد باکتریایی هستند.

واژگان کلیدی: *آدنیم آبسوم*، عصاره بافری، فراکسیون‌های پروتئینی، اثرات ضد باکتریایی.

مقدمه

نیازهای اخیر برای کشف و توسعه داروها و عوامل درمانی جدید برای درمان یا پیشگیری از بیماری‌های رایج وجود دارد. بیماری‌های عفونی که عمدتاً بعلت عوامل باکتریایی هستند در طول دو دهه گذشته یا بیشتر، بعلت

پیشرفت‌های عمده در پزشکی، از جمله پیوند اعضا و مغز استخوان، شیمی‌درمانی، افزایش استفاده از عوامل ضد باکتریایی قوی و وسیع‌الطیف، باعث افزایش جدی سیستماتیک در میزان عفونت‌های میکروبی شده است. عفونت‌های میکروبی یا قارچی به عنوان یکی از دلایل اصلی مرگ و میر در بین بیماران سرطانی و گیرندگان پیوند عضو ظاهر شده است. یکی از مشکلات جدی جامعه پزشکی در درمان بیماری‌های عفونی ناشی از عوامل باکتریایی، مقاوم شدن بسیاری از باکتری‌ها به آنتی‌بیوتیک‌های رایج است. این باکتری‌ها در حال تبدیل شدن به یک مشکل بالینی جدی در سراسر جهان هستند. این امر سبب توجه مؤسسات داروسازی جهت کشف داروهای ضدباکتری جدید

نویسنده مسئول:

مرکز علم و فناوری زیست‌شناسی، دانشکده علوم پایه، دانشگاه

امام حسین علیه السلام، تهران ایران

پست الکترونیکی: jazrgan@ihu.ac.ir

تاریخ دریافت: ۱۴۰۲/۰۶/۰۴

تاریخ پذیرش: ۱۴۰۲/۰۸/۰۹

یا بهینه سازی آنتی بیوتیک‌های قدیمی جهت دستیابی به تولید داروهای جدید و مؤثر شده است.

تولید داروهای جدید و مؤثر شده است.

ترکیبات گیاهی از جمله عصاره‌های مختلف، اسانس و متابولیت‌های ثانویه و ... از گذشته تا کنون مورد توجه خاص محققین قرار گرفته اند، زیرا که این ترکیب‌ها ایمن بوده و تاریخچه استفاده طولانی مدتی در طب سنتی و ایرانی برای فرآورده های غذایی و درمان بیماری های عفونی دارند (۱). ترکیبات مشتق شده از گیاهان می‌توانند سبب یافتن داروهای ضد میکروبی جدید با سمیت کمتر، طیف گسترده تر و فارماکوکینتیک مناسب شوند. به نظر می‌رسد فرآورده‌های طبیعی مشتق از گیاهان دارویی منابع جدیدی از عوامل ضد باکتریایی با مکانیسم عملکردی جدید می‌باشند. غربالگری و شناسایی گیاهان می‌تواند منجر به پیدایش ترکیبات فعال جدید در این زمینه شود (۲). آدنیموم آبسوم (*Adenium obesum*) یک گیاه متعلق به خانواده *Apocynaceae* است. این گیاه در زبان محلی به نام "رز صحرا" شناخته می‌شود. این گیاه از منطقه اتیوپی منشأ گرفته است اما اکنون در اکثر نقاط جهان به‌عنوان گیاه تزئینی استفاده شده است. این گیاه گلدار است و ارتفاع آن بین ۰/۵ تا ۲ متر است. گیاه به شکل چتری و دارای پوست سبز مایل به خاکستری کم رنگ بوده و برگ‌ها به صورت مارپیچی در انتهای شاخه‌ها قرار گرفته‌اند. برگ‌ها در انتهای شاخه‌ها با هم جمع می‌شوند. به‌طور معمول، شاخه‌ها گوشتی، به صورت مارپیچی، برگ‌های سبز صاف و براق هستند. طول برگ‌ها تقریباً ۲-۴/۵ اینچ است (۳،۴،۵).

پپتیدهای ضد میکروبی (AMPs)^۱ گروهی از پپتیدهای کوچک هستند که نقش مهمی در ایمنی ذاتی میزبان در برابر طیف وسیعی از میکروارگانیسم‌ها از جمله باکتری‌های (گرم مثبت و گرم منفی)، ویروس‌ها، قارچ‌ها و انگل‌ها دارند. AMP های مشتق شده از گیاه، دارای پپتیدهای غنی از سیستمین با فعالیت ضد میکروبی وسیع الطیف علیه باکتری‌ها، قارچ‌ها و ویروس‌ها هستند. این AMP ها بر اساس موتیف‌های سیستمینی و آرایش پل‌های دی سولفیدی و شباهت توالی به خانواده‌های مختلفی طبقه بندی می‌شوند (۲۳). با توجه به اثرات دارویی و مخصوصاً اثرات ضد باکتریایی عصاره‌های مختلف آدنیموم آبسوم، این گیاه می‌تواند کاندید مناسبی برای استخراج فراکشن‌های پروتئینی ضد باکتری باشد (۲۹).

هدف از این مطالعه بررسی اثرات ضد باکتریایی عصاره بافری و فراکسیون‌های پروتئینی جدا شده از گیاه

مواد و روش‌ها

این مطالعه به صورت تجربی انجام گرفت. به این صورت که ابتدا اثرات ضد باکتریایی عصاره بافری (با پروتئین‌های دناتوره شده بوسیله حرارت و غیر دناتوره) و سپس فراکسیون‌های پروتئینی جدا شده از عصاره بافری گیاه آدنیموم آبسوم بررسی شد.

تأیید گونه گیاهی

تأیید گونه گیاهی توسط هرباریوم پژوهشکده گیاهان و مواد اولیه دارویی دانشگاه شهید بهشتی با کد "MPH-3194" انجام شد.

عصاره‌گیری

برگ‌های سبز آدنیموم آبسوم جدا شده و بلافاصله با آب مقطر سرد شسته و خشک شد. سپس برگ‌ها با همزن خرد و با استفاده از هاون چینی و در شرایط سرد به صورت پودر درآورده شد. ۱۰۰ میلی لیتر بافر استخراج (حالی ۱۰۰ میلی مولار Tris-HCl ۸/۵، pH ۲۰٪ گلیسرول و PMSF، 1mM) به ۵۰ گرم از پودر برگ‌ها اضافه شد. مخلوط حاصل به ارلن منتقل شد و به مدت ۲۴ ساعت در دمای ۴ درجه سلسیوس به آرامی تکان داده شد سپس به مدت ۵ دقیقه در ۱۲۰۰۰ دور در دقیقه در دمای ۴ درجه سلسیوس سانتریفیوژ شد. مایع رویی به عنوان عصاره بافری خام آدنیموم آبسوم به فاکسون‌های جدید منتقل شد (۱۹ و ۶).

آنالیز باندهای پروتئینی

برای اطمینان از حضور پروتئین‌ها و همچنین تخمین وزن پروتئین‌ها در عصاره بافری گیاه از تکنیک ژل ۱۲ درصد SDS-PAGE با ولتاژ رانینگ ۱۰۰ ولت استفاده شد (۷). پس از انجام الکتروفورز، ژل با نیترات نقره رنگ آمیزی و حضور انواع پروتئین‌ها در عصاره بافری اثبات شد.

رسوب پروتئین محلول در عصاره بافری

عصاره بافری گیاه را درون یک بشر ریخته و با چرخش ۱۰۰ دور در دقیقه روی استییر در دمای ۴ درجه سلسیوس قرار داده شد و در مدت ۲۴ ساعت به تدریج به آن نمک سولفات آمونیوم اضافه شد تا به اشباع ۷۰ درصد رسید.

¹ Anti-Microbial Peptides

زمان (دقیقه) (ه)	محلول %A	محلول %B	سرعت جریان (mL/min)
۱	۰	۱۰۰	۰
۱	۰	۱۰۰	۲۵
۱	۱۰۰	۰	۳۵
۱	۱۰۰	۰	۷۰

جدول ۲- برنامه شستشوی ستون کروماتوگرافی

زمان (دقیقه)	محلول %A	محلول %B	سرعت جریان
۱	۱۰۰	۰	۰
۱	۰	۱۰۰	۳۰

باکتری‌های مورد مطالعه

سویه‌های باکتریایی مورد استفاده در این مطالعه باکتری‌گره مثبت پاتوژن استافیلوکوکوس اورئوس (*Staphylococcus aureus*, ATCC 25923) و گرم منفی غیر بیماری زا اشریشیا کولی (*Escherichia coli*, ATCC 25922) که از مرکز قارچ‌ها و باکتری‌های صنعتی ایران (PTC^۲) خریداری شدند.

مطالعه اثرات ضد باکتریایی

محیط کشت و آنتی بیوتیک

جهت کشت باکتری‌ها و انجام آزمایش‌های ضد باکتریایی از محیط کشت مولر هینتون براث (MH) شرکت Quela (CatNo.249892) کانادا استفاده شد. بمنظور مقایسه خواص ضد باکتریایی عصاره بافری از تتراسایکلین با غلظت ۵۰ میکروگرم در میلی لیتر. Sigma, USA. (CatNo: T3258) استفاده گردید.

مطالعه اثرات ضد باکتری با سنجش MIC^۳

در این آزمایش اثرات ضد باکتریایی عصاره بافری به صورت دنانوره و غیر دنانوره پروتئینی و فراکسیون‌های پروتئینی جدا شده از عصاره بافری با غلظت‌های مختلف بر روی رشد باکتری‌ها با استفاده از پلیت ۹۶ خانه بررسی شد. جهت دنانوره نمودن پروتئین‌های موجود در عصاره بافری، عصاره

سپس سانتریفیوژ با ۱۵۰۰۰ دور در دقیقه در دمای ۴ درجه سلسیوس انجام و رسوب حاوی پروتئین جدا شد.

جداسازی فراکسیون‌های پروتئینی عصاره بافری با

HPLC

برای جداسازی و جمع‌آوری فراکسیون‌ها عصاره بافری آدنیوم آبسوم از ستون تهیه‌ای C-18 (MACHERY-NAGEL Germany SN N22010859) و کروماتوگرافی مایع فاز معکوس با کارایی بالا (RP-HPLC) Reverse-Phase High Performance Liquid Chromatography) استفاده شد. بدین صورت که، مقداری از رسوب پروتئینی را در ۱ میلی لیتر آب دو بار تقطیر حل نموده و به مدت ۵ دقیقه با سرعت ۱۰۰۰۰ دور در دقیقه در دمای ۴ درجه‌ی سلسیوس سانتریفیوژ گردید. محلول رویی پروتئین سنجی شد (۲ میلی گرم در میلی‌لیتر) و برای جداسازی اجزاء مختلف عصاره بافری مورد استفاده قرار گرفت. برای جداسازی از دو محلول A و B و برنامه شیب خطی حلال مندرج در جدول ۱ استفاده شد. محلول A شامل ۱۰ درصد استونیتریل و ۰/۱ درصد TFA و محلول B از ترکیب ۷۵ درصد استونیتریل و ۰/۱ درصد TFA تشکیل شده بود. پس از شستشوی ستون (جدول ۲) نمونه با حجم ۴۰ میکرولیتر (غلظت ۸ میلی‌گرم در میلی‌لیتر) از بافر حاوی عصاره بافری به ستون تزریق و فراکسیون‌ها متناظر با هر پیک در ظروف عاری از هر گونه آلودگی جمع‌آوری گردید. سپس به دستگاه لیوفیلیزاتور جهت خشک کردن پروتئین انتقال پیدا کرد.

حل کردن فراکسیون‌ها و پروتئین سنجی آن‌ها

با توجه به این که بافر مناسب انتخابی جهت تهیه سوسپانسیون ماده پروتئینی می‌بایست برای باکتری غیر سمی باشد، بر این اساس محلول PBS برای تست‌ها انتخاب شد. پروتئین سنجی به روش برادفورد (۸) در طول موج ۵۹۵ نانومتر انجام شد و برای تهیه منحنی استاندارد از غلظت‌های مختلف آلبومین سرم گاو^۱ (SIGMA-ALDRICH) استفاده شد. برای جلوگیری از رشد میکروارگانیسم‌ها، لوله‌های محتوی فراکشن‌ها به دمای ۲۰- درجه سلسیوس منتقل گردید (۲۷).

جدول ۱- برنامه شیب خطی حلال جهت جداسازی فراکسیون‌ها عصاره بافری گیاه آدنیوم آبسوم

³minimum inhibitory concentration assay

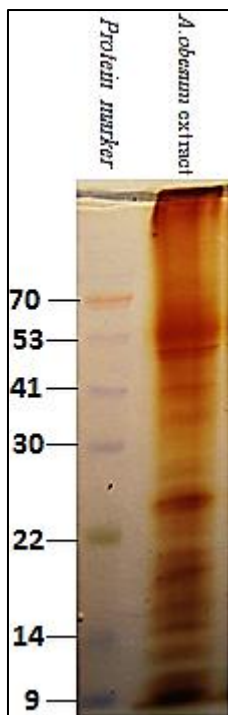
¹ BSA

² Persian Type Culture Collection

یافته‌ها

الگوی باندهای پروتئینی

در مطالعه الکتروفورزی عصاره بافری گیاه آدنیوم آسوم که با استفاده از ژل ۱۲ درصد PAGE-SDS انجام شد، وجود انواع پروتئین‌ها با وزن‌های مولکولی مختلف اثبات شد. (شکل ۱).



شکل ۱- الگوی الکتروفورزی عصاره بافری گیاه آدنیوم آسوم در ژل ۱۲ درصد SDS-PAGE. چاهک ۱: استاندارد وزنی پروتئین kDa و چاهک ۲: عصاره بافری آدنیوم آسوم

نتایج مطالعه کروماتوگرافی عصاره بافری و جداسازی

فراکشن‌های مرتب

بر اساس داده‌های دستگاه R-HPLC تعداد ۱۲ فراکسیون جدا شد (شکل ۲). پروتئین سنجی فراکسیون‌ها نشان داد که فراکسیون‌های شماره ۱، ۵ و ۶ فاقد پروتئین بوده و بر این اساس در بررسی‌های بعدی مورد توجه قرار گرفته نشد.

۱۰ دقیقه در آب در حال جوشیدن قرار داده شد تا پروتئین‌های موجود در آن از حالت فعال خارج شد و به شکل دنا توره شده در آمد. به منظور انجام این تست ابتدا از باکتری‌ها کشت تازه تهیه شد. پس از تهیه سوسپانسیون باکتریایی با غلظت نیم مک فارلند (CFU/mL) $1.0^8 \times (1/5 \times 9)$ ، مقدار ۵ میکرولیتر از سوسپانسیون تهیه شده در چاهک‌ها ریخته شد. سپس از عصاره بافری و فراکسیون‌های پروتئینی با غلظت ۰/۱۶ میکروگرم در میلی لیتر بر علیه باکتری‌های گرم مثبت و منفی به آن‌ها اضافه و با استفاده از محیط کشت مایع (مولر هینتون براث) حجم چاهک‌ها به ۱۰۰ میکرولیتر رسانده شد. در این آزمایش از سوسپانسیون باکتری و محیط کشت به عنوان کنترل منفی، تتراسایکلین (غلظت ۵۰ میکروگرم در میلی لیتر) به عنوان کنترل مثبت و محیط کشت فاقد باکتری به عنوان بلانک استفاده گردید. پس از ریختن فراکسیون‌ها در چاهک‌ها و انکوبه کردن به مدت ۱۸-۲۴ ساعت، جذب نوری چاهک‌ها در طول موج ۶۰۵ نانومتر با استفاده از دستگاه الیزا ریدر (Biotek, USA) اندازه‌گیری شد. آزمایش فوق ۳ مرتبه انجام و در هر مرتبه برای هر فراکسیون ۳ چاهک (۳ تکرار) در نظر گرفته شد و درصد مهار باکتری‌ها با استفاده از فرمول زیر محاسبه گردید (۲۸):

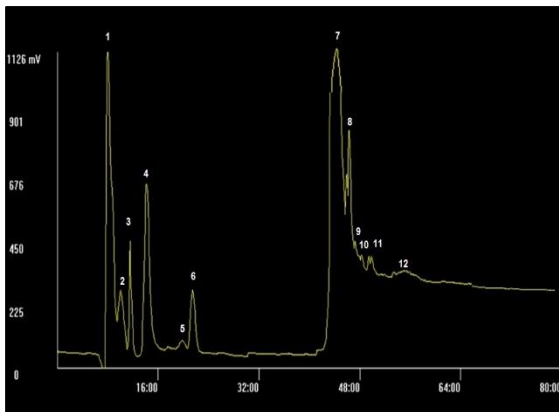
$$\text{درصد مهار باکتری} = [1 - (a/b)] \times 100$$

a = جذب نوری نمونه منهای جذب نوری بلانک

b = جذب نوری کنترل منفی منهای جذب نوری

تحلیل آماری

همه آزمون‌ها در سه تکرار انجام شد و نتایج به صورت میانگین \pm انحراف معیار گزارش شده است. داده‌ها با استفاده از نرم افزار (Graphpad Prism 8, CA, USA) تجزیه و تحلیل شد. اثر سمیت غلظت‌های مختلف فراکسیون‌های عصاره بافری *A.obesum* با استفاده از آزمون‌های ANOVA یک طرفه با گروه کنترل مقایسه شد.

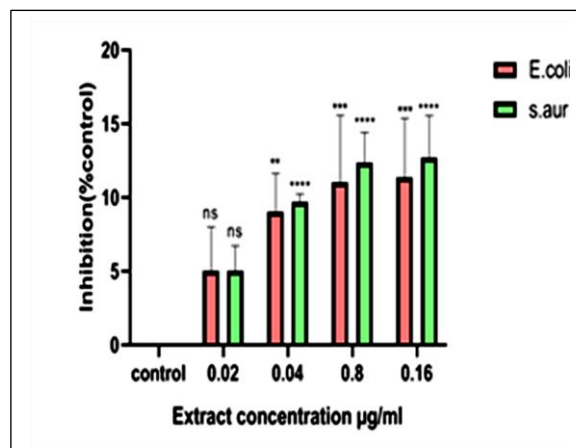


شکل ۲- کروماتوگرام عصاره بافری گیاه آدنیوم آبسوم بر اساس نتایج حاصل از R-HPLC.

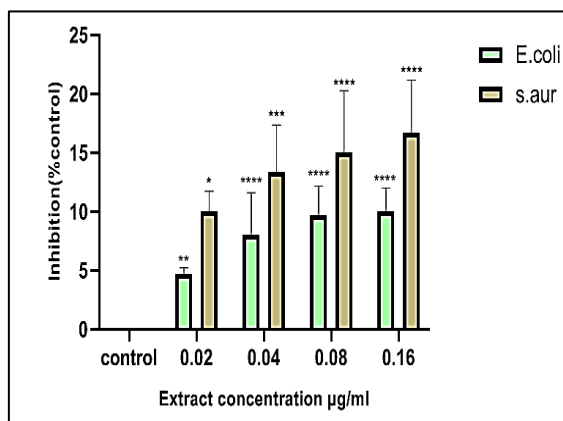
درصد مهار رشد باکتری *اشریشیاکلی* در حضور غلظت‌های ۰/۱۶، ۰/۰۸، ۰/۰۴ و ۰/۰۲ میکروگرم در میلی‌لیتر از عصاره بافری غیر دنا توره به ترتیب ۱۰، ۹/۶، ۸ و ۴/۶ درصد بوده است (نمودار ۲) و نتایج مهار در مورد عصاره بافری دنا توره در غلظت‌های ۰/۱۶، ۰/۰۸، ۰/۰۴ و ۰/۰۲ میکروگرم در میلی‌لیتر به ترتیب ۱۱/۳، ۱۱، ۹ و ۵ درصد بوده است که غلظت ۰/۰۲ نسبت به کنترل معنی دار نبود اما دیگر غلظت‌ها نسبت به کنترل معنی دار بودند (نمودار ۱). این مقادیر در مورد باکتری *استافیلوکوکوس اورئوس* در غلظت‌های ۰/۱۶، ۰/۰۸، ۰/۰۴ و ۰/۰۲ میکروگرم در میلی‌لیتر در مورد عصاره بافری غیر دنا توره به ترتیب ۱۶/۶، ۱۸/۳، ۱۳/۳ و ۱۰ درصد بوده است و نتایج در مورد عصاره بافری دنا توره به ترتیب ۱۲/۶، ۱۲/۳، ۹/۶ و ۵ درصد بوده است که غلظت ۰/۰۲ نسبت به کنترل معنی دار نبود اما دیگر غلظت‌ها نسبت به کنترل معنی دار بودند.

با آشکارساز UV (جذب ۲۲۰ نانومتر) ستون C18 و برنامه خطی گرادپان (بافر A: استونیتریل ۱۰ درصد حاوی ۰/۱ درصد TFA و بافر B: استونیتریل ۷۵ درصد حاوی ۰/۱ درصد TFA) جداسازی شد. فراکسیون‌های متناظر با هر پیک به صورت دستی در شیشه‌های عاری از آلودگی جمع آوری شد.

نتایج حداقل غلظت مهاری (سنجش) MIC عصاره بافری دنا توره و غیر دنا توره آدنیوم آبسوم
تست حداقل غلظت مهاری در غلظت‌های ۰/۱۶، ۰/۰۸، ۰/۰۴ و ۰/۰۲ میکروگرم در میلی‌لیتر از عصاره بافری با پروتئین دنا توره و غیر دنا توره بر روی دو گونه باکتری گرم مثبت (*استافیلوکوکوس اورئوس*) و گرم منفی (*اشریشیا کولی*) انجام شد. پس از بررسی نتایج مشخص گردید که



نمودار ۱- درصد مهار رشد باکتری *اشریشیاکلی* و *استافیلوکوکوس اورئوس* ($10^8 \times 1/5$ باکتری در هر چاهک) در حضور غلظت‌های ۰/۰۲ تا ۰/۱۶ میکروگرم در میلی‌لیتر عصاره بافری دنا توره گیاه *A. obesum* در سنجش MIC. جذب نوری نمونه‌ها در OD 605nm خوانده شده و غلظت‌ها نسبت به گروه کنترل منفی ارزیابی شدند ($p < 0.0001$: ****).



نمودار ۲- درصد مهار رشد باکتری اشریشیاکلی و استافیلوکوکوس اورئوس (۱/۵×۱۰۸ باکتری در هر چاهک) در حضور غلظت‌های ۰/۰۲ تا ۰/۱۶ میکروگرم در میلی‌لیتر عصاره بافری غیر دنا توره گیاه *A.obesum* در سنجش MIC. جذب نوری نمونه‌ها در OD 605nm خوانده شده و غلظت‌ها نسبت به گروه کنترل منفی ارزیابی شدند (p<0.0001:****).

منفی) را داشته و درصد رشد مهاری آنها در غلظت ۰/۰۱ میکروگرم بر میلی لیتر بترتیب ۲۵ و ۱۱ درصد بوده است. اثرات ضد باکتریایی سایر فراکشن‌ها در فراکشن‌های ۷، ۱۱ و ۱۲ در غلظت ۰/۰۱-۰/۰۰۰۶ میکروگرم بر میلی لیتر فاقد اثر مهاری معنادار در مقایسه با کنترل بوده و اثر ضد باکتری بر علیه استافیلوکوکوس اورئوس نداشتند. همچنین فراکشن شماره ۴ در غلظت‌های ذکر شده اثر مهاری ثابت حدود ۱۰ درصد را بر رشد این باکتری از خود نشان داده است. کلیه فراکشن‌های پروتئینی به جز فراکشن شماره ۱۱ بر علیه باکتری‌های گرم منفی اشریشیاکولی در مقایسه با کنترل اثر مهاری معنادار از خود نشان نداده‌اند. درصد مهاری رشد باکتری استافیلوکوکوس اورئوس پس از تیمار با فراکشن‌های ۲، ۳، ۸، ۹ و ۱۰ در غلظت ۰/۰۱-۰/۰۰۰۶ میکروگرم بر میلی لیتر با افزایش غلظت پروتئین سیر صعودی داشته است (جدول ۳).

نتایج حداقل غلظت مهاری (سنجش) MIC فراکسیون‌های پروتئینی عصاره بافری آدنیوم آبسوم بر علیه باکتری‌های گرم مثبت و گرم منفی
 جداسازی فراکشن‌های مختلف عصاره حاوی پروتئین فعال با RP-HPLC با برنامه ذکر شده و پروتئین سنجی آنها سبب جمع آوری ۹ فراکشن پروتئینی از مجموع ۱۲ فراکشن مختلف بدست آمده از آن بود. در این مطالعه درصد مهار رشد دو گونه باکتری مورد مطالعه پس از تیمار با این فراکشن‌ها در غلظت‌های ۰/۰۱-۰/۰۰۰۶ میکروگرم بر میلی لیتر بررسی شد. قابل ذکر است که در غلظت‌های خارج از دامنه ذکر شده اثر ضد باکتریایی دارای سیر نزولی بوده است. نتایج نشان داد که فراکشن شماره ۹ و ۱۱ به ترتیب بیشترین اثر ضد باکتریایی را بر استافیلوکوکوس اورئوس (باکتری گرم مثبت) و اشریشیاکولی (باکتری گرم

جدول ۳- نتایج میانگین درصد مهاری فراکشن‌های پروتئینی مستخرج از عصاره گیاه آدنیوم آبسوم بر علیه باکتری‌های مورد مطالعه

فراکشن	غلظت پروتئین (µg/ml)					باکتری
	۰/۰۰۰۶	۰/۰۰۱۲	۰/۰۰۲۵	۰/۰۰۵	۰/۰۱	
۲	۸	۱۴	۱۴	۱۹	۲۰	استافیلوکوکوس اورئوس
۳	۸	۱۳	۱۴	۲۰	۲۰	اورئوس
۸	۰	۱۰	۷	۱۴	۱۷	اشریشیاکولی
۹	۰	۱۴	۱۸	۲۴	۲۵	
۱۰	۰	۴	۱۱	۱۵	۱۸	
۱۱	۰	۵	۹	۱۰	۱۱	

بحث

سلولی باکتری‌های گرم منفی و یا ترکیب لپیدی غشای سیتوپلاسمی و پتانسیل الکترواستاتیک و بار کلی غشاء در باکتری‌های گرم مثبت باشد (۱۶) با توجه به یافته‌های حاصل از این مطالعه، عصاره بافری گیاه *آدنیوم آبسوم* بصورت دنا توره شده با حرارت و غیر دنا توره شده اثرات ضد باکتریایی وابسته به غلظت بر علیه سویه های باکتریایی گرم مثبت و گرم منفی نشان داد.

در مقایسه بین باکتری‌های گرم منفی و گرم مثبت شاهد بودیم که اثر عصاره بافری دنا توره در باکتری‌های گرم منفی و مثبت تقریباً یکسان است، اما اثر عصاره بافری غیر دنا توره در برابر باکتری‌های گرم مثبت نسبت به باکتری‌های گرم منفی بیشتر است که این موضوع می‌تواند به دلیل ساختار خاص غشا و دیواره سلولی منحصربه فرد باکتری‌های گرم منفی باشد (۱۷) و تفاوت نتایج در عصاره بافری دنا توره و غیر دنا توره می‌تواند به علت وجود پپتیدهای فعال در عصاره بافری غیر دنا توره باشد که میزان اثرات ضد باکتری عصاره بافری غیر دنا توره نیز بیشتر بود. این یافته با گزارش فعالیت ضد باکتریایی عصاره‌های مختلف گیاه *آدنیوم آبسوم* توسط Al Rashdi و همکاران در سال ۲۰۲۱ (۱۸)، و Sharma همکاران در سال ۲۰۱۷ (۲۰) مورد بررسی قرار گرفته اند منطبق بوده است با این تفاوت که نوع عصاره گیری آن‌ها متفاوت بوده است و بر خلاف این تحقیق از حلال‌های الکلی برای عصاره بافری گیری استفاده نموده اند.

همین‌طور Adamu و همکاران در سال ۲۰۰۵ (۲۴) گزارش کردند که عصاره آبی *آدنیوم آبسوم* دارای پتانسیل ضد باکتریایی قوی در برابر سویه‌های مختلف باکتریایی بیماری‌زای بیمارستانی، یعنی پروتئوس *میرابلیس*، *سودوموناس اثرورژینوزا*، *استافیلوکوکوس اورئوس* و *اشریشیا کولی* است که با مطالعات حاضر همخوانی داشت.

ضمن اینکه Tijjani و همکاران در سال ۲۰۱۱ (۲۵) بررسی کردند که عصاره‌های متانولی و پترولیوم اتری پوست ساقه گیاه *آدنیوم آبسوم* نیز دارای خاصیت ضد باکتریایی قوی در برابر چندین سویه باکتری‌های گرم منفی بیماری‌زا، مثل *اشریشیا کولی*، *نایسریا گونوره آ* و *سالمونلا تیفی* هستند که علت تاثیر زیاد ضد باکتریایی آن نسبت به تحقیق حاضر ممکن است بخاطر بافت گیاهی انتخاب شده و حلال‌های الکلی بوده باشد. Sharma و همکاران در سال ۲۰۱۵ (۲۶) نشان دادند که عصاره متانولی برگ *آدنیوم آبسوم* دارای فعالیت ضد باکتریایی در برابر باکتری‌های گرم مثبت *استافیلوکوکوس اورئوس* و *باسیلوس آمیلولیکوفاسینس*

با توجه به مقاومت برخی از پاتوژن‌ها به آنتی بیوتیک‌های رایج، درمان عفونت‌های ناشی از آن‌ها به یک مشکل عمده بهداشت عمومی تبدیل شده است (۱۰). گیاهان حاوی غلظت بالایی از متابولیت‌های ثانویه از جمله تانن‌ها، کینین‌ها، ترپنوئیدها، فنل‌ها و پپتیدهای ضد میکروبی تولید شده توسط سلول‌های گیاهی از طریق مسیرهای متابولیک ناشی از مسیرهای متابولیک اولیه برای تولید یک سیستم دفاعی کارآمد هستند (۱۱ و ۱۹). این متابولیت‌های ثانویه در واکنشی در گیاه برای دفع حشرات، باکتری‌ها و قارچ‌ها تولید می‌شوند. متابولیت‌های ثانویه اثرات متعددی (ضد باکتری‌ها، ضد قارچ و ضد ویروسی) بر علیه پاتوژن‌ها دارند (۱۲). با این حال، آگاهی از اینکه میکروب‌ها تمایل کمتری به ایجاد مقاومت در برابر پپتیدهای ضد میکروبی (AMPs)^۱ دارند، آن‌ها را برای استفاده محبوب تر کرده است (۱۳). پپتیدهای ضد میکروبی (AMPs) مواد کاتیونی هستند که قادر به مهار انتقال پروتئین، کانال‌های یونی یا آنزیم‌ها هستند، به عنوان تنظیم‌کننده هورمون استروئیدی عمل می‌کنند و با DNA و RNA برهم‌کنش می‌کنند (۱۴). AMPها به عنوان پپتیدهای دفاعی میزبان در برابر آفات و پاتوژن‌ها در بسیاری از ارگانیسم‌ها گسترده هستند (۱۵).

در این مطالعه اثرات ضد باکتریایی عصاره بافری خام به صورت دنا توره و غیر دنا توره و فراکسیون‌های پروتئینی گیاه *آدنیوم آبسوم* مطالعه گردید. از نتایج به دست آمده از کروماتوگرافی HPLC عصاره بافری گیاه *آدنیوم آبسوم*، تعداد ۱۲ فراکسیون حاصل شد. نتایج پروتئین سنجی این فراکسیون‌ها نشان داد که از میان ۱۲ فراکسیون به دست آمده، فراکسیون‌های مربوط به پیک‌های شماره ۱، ۵ و ۶ فاقد پروتئین بوده‌اند.

آنالیز و تجزیه و تحلیل الکتروفورزی عصاره بافری برگ *آدنیوم آبسوم* توسط Hastuti و همکاران در سال ۲۰۱۰ نشان داد که بر اساس الگوهای الکتروفورزی عصاره بافری این گیاه، محدوده ای بین ۹ تا ۱۲۰ کیلودالتون را برای پروتئین‌های موجود در عصاره بافری را نشان داده است (۶). برخی پپتیدها بر باکتری‌های گرم مثبت و برخی بر باکتری‌های گرم منفی مؤثر هستند.

فعالیت اختصاصی برخی پپتیدهای ضد میکروبی ممکن است به دلیل عوامل مختلفی از جمله تفاوت گونه‌های باکتریایی از جمله تراکم و ساختار لیپوپلی ساکراید در دیواره

¹ Anti Microbial peptide

منابع

1. Alvarez-Martínez FJ, Barrajón-Catalan E, Encinar JA, Rodríguez-Díaz JC, Micol V. Antimicrobial capacity of plant polyphenols against gram-positive bacteria: A comprehensive review. *Current Medicinal Chemistry*. 2020;27(15): 2606-2576.
2. Atanasov AG, Waltenberger B, PferschyWenzig EM, Linder T, Wawrosch, C, Uhrin P, Temml V, Wang L, Schwaiger S, Heiss EH, Rollinger JM. Discovery and resupply of pharmacologically active plant-derived natural products: A review. *Biotechnology Advances*. 2015;33(8): 1614-1582.
3. Al Rashdi RS, Hossain MA, Al Touby SS. Antioxidant and antibacterial activities of leaves crude extracts of *Adenium obesum* grown in Oman National Botanical Garden. *Advances in Biomarker Sciences and Technology*. 2021 Jan 1;3:8-14
4. Tijjani A, Ndukwe IG, Ayo RG. Studies on antibacterial activity of *Adenium obesum* (Apocynaceae) stem bark. *Continental Journal of Microbiology*. 2011;5(1):12-7.
5. Jamil Zargan , Majid Mirzaei Nodushan , Hosein Sobati , Hamidreza Goodarzi , Ashkan Haji Noormohammadi , Firuz Ebrahimi. In-Vitro Evaluation of Anticancer and Antibacterial Properties of Pseudocerastes Persicus Snake Venom Fractions. *Jundishapur journal of medical science*. March and April 2022. Volume 21. Number 136.
6. Hastuti DW, Suranto S, Setyono P. Variation of morphology, karyotype and protein band pattern of *adenium* (*Adenium obesum*) varieties. *Nusantara Bioscience*. 2009;1(2)
7. Laemmli VK. 1970. Cleavage of structural proteins during the assembly of the head of bacteriophage T4. *Nature* 227: 680.
8. Bradford MM. 1976. A rapid and sensitive method for the quantitation of microgram quantities of protein utilizing the principle of protein-dye binding. *Anal Biochem*; 72(1): 248-54.
9. Yalcın HT, Ozen MO, Gocmen B, Nalbantsoy A. Effect of Ottoman viper (*Montivipera xanthina* (Gray, 1849)) venom on various cancer cells and on microorganisms. *Cytotechnology* 2014. 66: 87-94
10. Moridikia A, Zargan, Sobati H, Goodarzi H-R, Hajinourmohammadi A. Anticancer and antibacterial Effects of Iranian Viper (*Vipera latifii*) Venom; an in-vitro study *Journal of Cellular Physiology* 10 January 2018 .<https://doi.org/10.1002/jcp.26428>
11. Isah, T. Stress and defense responses in plant secondary metabolites production. *Biological Research*. 2019, 52, 39-64.
12. Sharma, S.; Sanyal, S.K.; Sushmita, K.; Chauhan, M.; Sharma, A.; Anirudhan, G. Modulation of phototropin signalosome with artificial illumination holds great potential in the development of climate-smart crops. *Curr. Genom*. 2021, 22, 181-213.
13. Crabbé, A.; Jensen, P.; Bjarnsholt, T.; Coenye, T. Antimicrobial tolerance and metabolic adaptations in microbial biofilms. *Trends Microbiol*. 2019, 27, 850-863
14. Kenny RG, Marmion CJ. Toward multi-targeted platinum and ruthenium drugs—a new paradigm in cancer drug treatment regimens?. *Chemical reviews*. 2019 Jan 14;119(2):1058-137.
15. Li W, Separovic F, O'Brien-Simpson NM, Wade JD. Chemically modified and conjugated antimicrobial peptides against superbugs. *Chemical Society Reviews*. 2021;50(8):4932-73.
16. San TM, Vejjayan J, Shanmugan K, Ibrahim H. Screening antimicrobial activity of venoms from snakes commonly found in Malaysia. *Journal of applied sciences*. 2010;10(19):2328-32.
17. Zeng XC, Wang S, Nie Y, Zhang L, Luo X. Characterization of BmKbpb, multifunctional peptide from the Chinese scorpion *Mesobuthus martensii* Karsch: gaining insight into a new mechanism for the functional diversification of scorpion venom peptides. *Peptides* 2012;33: 44-51.
18. Al Rashdi RS, Hossain MA, Al Touby SS. Antioxidant and antibacterial activities of leaves crude extracts of *Adenium obesum* grown in Oman National Botanical Garden. *Advances in Biomarker Sciences and Technology*. 2021 Jan 1;3:8-14.
19. Hajinourmohammadi A, Zargan J, Jafary H, Ebrahimi F. Cytotoxic and apoptotic effects of the *Adenium obesum* extract on the hepatocellular carcinoma cell line (HepG2). *Gene Reports*. 2024 Jun 1;35:101907.
20. Sharma Y. A study of antibacterial, antioxidant and neuroprotective effect of stem of *Syzygium cumini*. *International Journal of Green Pharmacy (IJGP)*. 2017;11(04).
21. Prasetyoputri A, Jarrad AM, Cooper MA, Blaskovich MA. The Eagle effect and antibiotic-induced persistence: two sides of the same coin? *Trends Microbiol* 2019; 27: 339-354.
22. Alipour Y, Zargan J, Haji Nour Mohammadi A. Antibacterial effects of crude venom and their protein) fractions of *Hottentotta saulcyi* scorpion. *Koomesh*. 2022 May 10;24(3):376-87.
23. Hassan M, Flanagan TW, Kharouf N, Bertsch C, Mancino D, Haikel Y. Antimicrobial proteins: structure, molecular action, and therapeutic potential. *Pharmaceutics*. 2022 Dec 26;15(1):72.
24. Adamu HM, Abayeh OJ, Agho MO, Abdullahi AL, Uba A, Dukku HU and Wufem BM (2005). An ethnobotanical survey of Bauchi State herbal plants and their antimicrobial activity. *Journal of Ethnopharmacology*; 99(1):1-4.
25. Tijjani A, Ndukwe IG and Ayo RG. Studies on antibacterial activity of *Adenium obesum* (Apocynaceae) stem - bark. *Continental Journal of Microbiology*; (2011) 5(1):12-17.
26. Sharma Y, Nagar A and Shukla S. Antimicrobial activity and phytochemical screening of *Adenium obesum* (desert rose) leaf. *International Journal of Pharma and Bio Sciences*; (2015)6(3):85-92.

27. Zargan J, Sajad M, Umar S, Naime M, Shakir A, Haider AK. 2011 .Scorpion (*Androctonus crassicauda*) venom limits growth of transformed cells (SH-SY5Y and MCF-7) by cytotoxicity and cell cycle arrest. *Experimental and Molecular Pathology* 91 (2011) 447–454
28. Mousavi M, Zargan J, Hajinourmohammadi A etal. May-Jun, 2019. Investigating antibacterial effects of *Latrodectus Dalhi* crude venom on *Escherichia coli*, *staphylococcus aureus* and *Bacillus subtilis*. *Medical Laboratory Journal*; Vol 13: No 3.
29. Hossain MA. A review on *Adenium obesum*: A potential endemic medicinal plant in Oman. *Beni-Suef University journal of basic and applied sciences*. 2018 Dec 1;7(4):559-63.